· 於 著。

重组人缺氢诱导因子-1α 腺相关病毒载体的构建及表达

柴锡庆 1* ,刘凌云 1 ,郑 1 ,王俊霞 2 ,程桂花 3 ,杨 1

(1.河北医科大学研究生院,石家庄 050017;2.河北省实验动物中心,石家庄 050017;3.河北化工医药职业技术学院,石家庄 050000)

目的:构建重组人缺氧诱导因子-1α腺相关病毒载体 (rAAV-HIF-1α),并观察其在原代培养海马神经细胞中的表 达。 **方法:** 构建含人类 HIF-1α基因的 AAV 载体质粒 pSNAV-HIF-1α,转染 BHK21 细胞并选择培养获得的 G418 抗性细胞, 即 AAV 载体细胞株,以重组单纯疱疹病毒感染此细胞株获得 rAAV-HIF-1α,PCR 技术鉴定病毒,地高辛标记的 CMV 探针点 杂交方法测定重组病毒滴度,SDS-PAGE 电泳测定病毒纯度,Western 印迹检测目的蛋白的表达。结果:PCR 证实 rAAV-HIF- 1α 内含有人 HIF- 1α 基因序列,病毒滴度为 1×10^{12} v. g. /ml,纯度大于 98%,感染原代培养海马神经细胞后能够表达目的 蛋白。 结论:成功构建了 rAAV-HIF-1α,为进一步应用该基因进行临床基因治疗提供了实验依据。

[关键词] 缺氧诱导因子-1α;原代培养;海马;腺相关病毒

[中图分类号] R 338.2

「文献标识码」 A

「文章编号」 0258-879X(2007)06-0633-04

Construction and expression of adeno-associated virus vector harboring human hypoxia inducible factor-1\alpha gene

CHAI Xi-qing1 , LIU Ling-yun1 , ZHENG Long2 , WANG Jun-xia2 , CHENG Gui-hua3 , YANG Tao1 (1. Graduate School of Hebei Medical University, Shijiazhuang 050017, China; 2. The Laboratory Animal Center of Hebei Province, Shijiazhuang 050017;3. Hebei Vocational College of Chemical & Phamaceutical Technology, Shijiazhuang 050000)

[ABSTRACT] Objective: To construct a recombinant adeno-associated virus (AAV) vector harboring human hypoxia inducible factor- $1\alpha(HIF-1\alpha)$ gene and to express it in primarily cultured neurons in the hippocampus. **Methods**: Human HIF- 1α gene was inserted into AAV vector plasmid pSNAV 2. 0 to generate a recombinant plasmid pSNAV-HIF- 1_{α} , then pSNAV-HIF- 1_{α} was transfected into BHK-21 cells and selected by G418. The construction of rAAV-HIF-1α was achieved by infecting G418-resistant BHK-21 cells with recombinant herpes simplex virus. The recombinant rAAV-HIF- 1α was confirmed by polymerase chain reaction (PCR). The titer of rAAV-HIF- 1α was detected by dot-blot with digoxin labelled cytomegalovirus probe. The purity of rAAV-HIF-1α was detected by SDS-PAGE. The expression of HIF-1α protein was determined by Western blot. Results: PCR demonstrated that human HIF-1α gene was successfully inserted into rAAV-HIF-1 α . The virus titer was 1×10^{12} v. g./ml and the virus purity exceeded 98%. Western blot analysis demonstrated that rAAV-HIF- 1α infected hippocampal neurons expressed HIF- 1α protein, Conclusion: rAAV-HIF- 1α has been successfully constructed and it is capable of expressing HIF- 1α in cultured hippocampal neurons.

[KEY WORDS] hypoxia-inducible factor- 1α ; primary culture; hippocampus; adeno-associated virus

[Acad J Sec Mil Med Univ, 2007, 28(6): 633-636]

近年来病毒载体介导的阿尔茨海默病(Alzheimer's disease, AD)基因治疗迅速发展并取得初步 成功[1-2],但仍有众多难题亟待解决,其中选择适当 的基因载体以将具有治疗价值的基因导入靶细胞并 使其有效表达是 AD 基因治疗研究的关键所在。腺 相关病毒(adeno-associated virus, AAV)载体具有 安全性好,免疫原性低,宿主细胞范围广,能介导外 源基因在体内长期稳定表达,并且不表达任何病毒 自身蛋白基因等优点,是目前基因治疗研究中应用 最为广泛的载体之一。缺氧诱导因子-1α(hypoxia inducible factor-1α, HIF-1α)是一种在缺氧应答过程 中起重要作用的核转录因子[3-4],广泛参与缺氧诱导 的细胞适应性反应,已成为缺氧应答时基因表达和恢 复细胞内环境稳定的调节中心。最近研究证实 HIF- 1α 尚具有神经保护作用,能够减弱氧化应激等因素对

皮质神经细胞的损伤作用[5]。因此,本实验选用 AAV 为基因载体,人 HIF-1α cDNA 为治疗基因,构 建重组人缺氧诱导因子-1α 腺相关病毒载体(rAAV- $HIF-1\alpha$)并转染原代培养的海马神经元,为进一步应 用该基因进行 AD 的临床基因治疗奠定基础。

1 材料和方法

含人 HIF-1α 基因质粒 pBSKh-1.1 载体与试剂 HIF1αT7 由瑞士苏伊士大学 Gassmann 教授惠赠 (GenBank: U22431), 通 用 型 AAV 载 体 pSNAV2.0、AAV 载体包装系统、rAAV2/lacZ 及具 有 AAV 复制和包装功能的重组 1 型单纯疱疹病毒

[作者简介] 柴锡庆,教授,博士生导师.

^{*} Corresponding author. E-mail: xiqingchai@126. com

HSV1-rc/ Δ UL2由本元正阳基因技术有限公司提供。DMEM 购自 Invitrogen 公司;胎牛血清、马血清购自 HyClone 公司;阿糖胞苷、抗人 HIF- 1α 单克隆抗体及多聚赖氨酸购自 Sigma 公司。

1.2 rAAV-HIF-1α的构建 限制性内切酶双酶切 pBSKhHIF1αT7 质粒获取人 HIF-1α 基因片段,构 建含人 HIF-1α 基因的 AAV 载体质粒 pSNAV-HIF-1α。按 GibcoBRL产品说明书提供的方法,用 LipofectAmine 2000 将 pSNAV-HIF-1α 质粒转染 6 孔板中的 BHK-21 细胞,24 h 后用 0.8 mg/ml G418 选择培养。待抗性克隆生长至孔底面积的 1/2 左右 时,用胰酶消化,继续用 G418 选择培养直至细胞长 满,传代后换用不含 G418 的培养液。将此混合细 胞株命名为 BHK/pSNAV-HIF-1α,即 AAV 载体细 胞株。将 AAV 载体细胞株用转瓶培养,细胞长满 后用 HSV1-rc/ΔUL2 感染(MOI 为0.1) 该细胞株。 待 48 h 细胞完全病变、容易脱落时,盖紧瓶盖剧烈 振摇,将瓶壁上的细胞全部洗脱至培养液中,然后采 用氯仿处理-PEG/NaCl 沉淀-氯仿抽提技术粗纯化 AAV 病毒,透析袋浓缩法进一步浓缩 AAV 病毒, 即得到用于细胞实验的 rAAV-HIF-1α(图 1)。进行 酶切及 PCR 鉴定, PCR 引物由本元正阳基因有限公 司设计(上游引物 5'-TAA GAA ACC ACC TAT GAC CT-3′,下游引物 5′-TGA GTT TCA ACC CAG ACA TA -3')

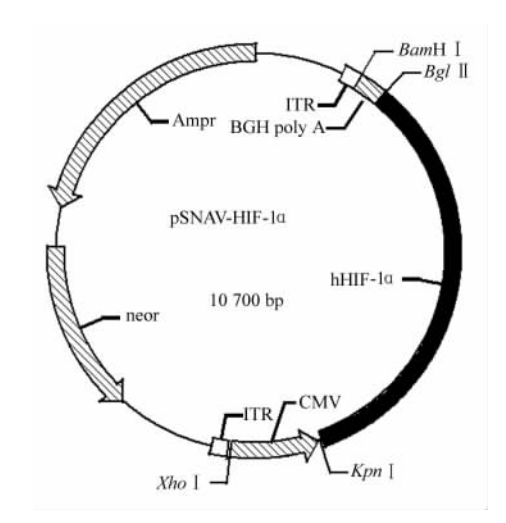


图 1 AAV 载体质粒 pSNAV-HIF-1α 构建示意图 Fig 1 Schematic outline for construction of pSNAV-HIF-1α

ITR: The inverted terminal repeat of the adeno-associated virus; CMV: The enhancer/promoter of the cytomegalovirus immediate early genes; hHIF-1 α : Human hypoxia inducible factor-1 α ; BGH poly A: Bovine growth hormone polyadenylation signals; Ampr: The ampicillin resistant gene; neor; The neomycin resistant gene

1.3 rAAV-HIF-1α 滴度的测定 以 pSNAV 质粒 为模板,PCR 法标记探针。用地高辛标记的 CMV 探针点杂交方法对经梯度稀释的病毒原液和标准品进行检测,依据检测到的杂交信号判断病毒滴度。

1.4 rAAV-HIF- 1α 纯度的测定 采用凝胶扫描图像分析系统,分析 rAAV-HIF- 1α 样品经 10% 的 SDS-PAGE 后所得蛋白条带测定病毒纯度,加样孔加 rAAV-HIF- 1α 样品 $15~\mu$ g。电泳完毕后用考马斯亮蓝染色,脱色液脱色至显出低背景的、清晰的条带。

海马神经元培养及转染 取新生 1 d 内的 SD 1.5 大鼠,75% 乙醇浸泡 5 min 后,在超净工作台中取 脑,仔细剥除脑膜及血管,分离出海马并剪碎,加入 0.125%胰蛋白酶溶液 37℃消化 20 min,用含 10% 胎牛血清、5%马血清 DMEM 培养基终止消化, 200×g离心 5 min,弃上清,用上述血清培养基重新 悬浮细胞沉淀,吹打均匀,用200目不锈钢网过滤制 成单细胞悬液,以 5×10⁵ cell/ml 接种于预先用多聚 赖氨酸包被的 6 孔培养板中,每孔 1 ml,每隔 2~3 d 换液 1次,培养第 4 天加入终浓度为 10 μmol/L 的 阿糖胞苷作用 1~2 d,以抑制非神经细胞的繁殖。 培养第6天吸去培养液,每孔加入无血清培养基 500 μl,按 1×10⁵ v. g. /cell 滴度加入 rAAV-HIF-1α 及 rAAV2/lacZ,37℃、5% CO2 孵育 1 h 后,吸去每 孔液体,加入 1 ml/孔含 10%胎牛血清、5%马血清 的 DMEM 培养基,37℃、5%CO₂培养 72 h后,检测 海马神经元表达产物。

1.6 Western 印迹技术检测 HIF- 1α 蛋白的表达 收集 转染 rAAV-HIF- 1α 的海 马神经元 (简称 rAAV-HIF- 1α 组)、转染载体对照 rAAV2/lacZ 的海马神经元 (简称 Vector 组)以及未转染的海马神经细胞 (简称 Normal 组),提取细胞总蛋白,考马斯亮蓝蛋白定量。按 $100~\mu g$ /孔加样量计算应加细胞总蛋白的体积。SDS-PAGE 分离蛋白后,100~V 电转移 3~h 至 PVDF 膜上,5% 脱脂奶粉封闭过夜,PBS 清洗 PVDF 膜。加入小鼠抗人 HIF- 1α (1:1~000)单克隆抗体,4 C 孵育过夜,PBS 清洗。加入二抗(1:2~000)HRP 兔抗小鼠抗体,37 C 孵育 1~h,PBS 清洗,DAB 法显色,采用 Labworks4. 0~ 图像分析系统扫描测定积分光密度。

1.7 统计学处理 应用 SPSS 10.0 统计分析软件进行统计处理,数据用 $\bar{x}\pm s$ 表示,多组间比较采用单因素方差分析(One-Way ANOVA),两样本比较采用 t 检验,以 P < 0.05 作为判断差异显著性的标准。

2 结 果

2. 1 pSNAV-HIF- 1_{α} 及 rAAV-HIF- 1_{α} 鉴定结果 利用 Kpn [、BamH [双酶切 pSNAV-HIF- 1_{α} 后琼脂糖凝胶电泳鉴定,可以产生 3 800 bp 和 7 000 bp 两条片段,其中 3 800 bp 片段包含 HIF- 1_{α} cD-NA 全长(图 2)。 PCR 扩增产物为 324 bp(图 3)。表明 pSNAV-HIF- 1_{α} 及 rAAV-HIF- 1_{α} 构建成功。

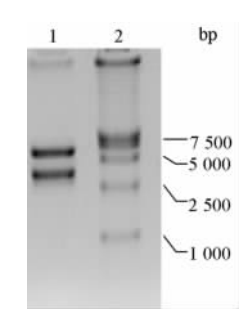


图 2 重组质粒 pSNAV-HIF-1α 酶切鉴定分析 Fig 2 Identification of the constructed pSNAV-HIF-1α by restriction enzyme digestion

1: pSNAV-HIF-1 α digested by Bam H [/ Kpn] ; 2: DNA marker DL 15 000

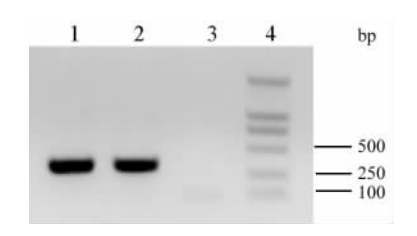


图 3 pSNAV-HIF-1α及 rAAV-HIF-1α PCR 鉴定分析 Fig 3 Identification of the constructed pSNAV-HIF-1α and rAAV-HIF-1α by PCR

1: pSNAV-HIF-1 α ; 2: rAAV-HIF-1 α ; 3: Negative control; 4: DL2000 marker

2.2 病毒滴度的测定 病毒滴度测定如图 4 所示,横向一排是标准品,自左向右 $1\sim7$ 号 DNA 拷贝浓度依次是 2.0×10^{12} , 1.0×10^{12} , 0.5×10^{12} , 0.25×10^{12} , 0.125×10^{12} , 0.062 5×10^{12} , 0.037 5×10^{12} v. g. /ml;纵向一排是经过纯化的 rAAV-HIF- 1α 样品,自上向下依次为 rAAV-HIF- 1α 原液、4 倍稀释品及 8 倍稀释品。样品与标准品对照得出结论,可知样品原液与标准品中 2 号相当,即浓度为 1×10^{12} v. g. /ml。

2.3 病毒纯度的测定 AAV 的外壳由 VP1、VP2、VP3 三种蛋白质组成,相对分子质量依次为 82 000、72 000、62 000,在 AAV 病毒颗粒中 VP1、VP2、VP3 蛋白的比例约为 1:1:10。纯化后的 rAAV-

HIF- 1α 经 10% SDS-PAGE 电泳分离后, VP1、VP2、 VP3 三条特征性条带清晰, 无其他杂带, 大约符合 1:1:10 的比例, 经凝胶扫描图像分析系统分析后 认为 rAAV-HIF- 1α 纯度大于 98% (图 5)。

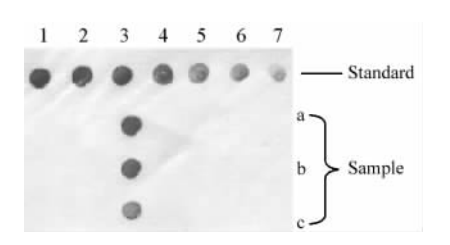


图 4 病毒滴度检测

Fig 4 Detection of the virus titer by dot-blot with digoxin labelled cytomegalovirus probe

1-7:2.0 \times 10¹², 1.0 \times 10¹², 0.5 \times 10¹², 0.25 \times 10¹², 0.125 \times 10¹², 0.062 $5\times$ 10¹², 0.037 $5\times$ 10¹² v.g./ml, respectively; a: Sample stock solution; b: Four fold dilution of sample stock solution; c: Eight fold dilution of sample stock solution

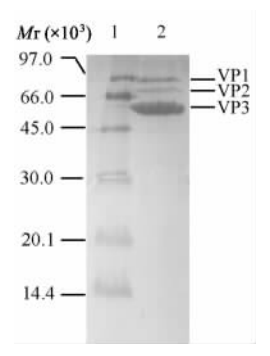


图 5 病毒纯度检测

Fig 5 Detection of the virus purity by SDS-PAGE

1. Low molecular weight protein marker; 2. Sample stock solution

2.4 HIF- 1α 蛋白的表达 Western 印迹检测结果表明,各组细胞中均表达相对分子质量为 120 000的 HIF- 1α 蛋白,但表达量不同。rAAV-HIF- 1α 组细胞 HIF- 1α 蛋白表达(727.57±36.08)较 Vector组(335.94±20.19)、Normal组(328.57±23.71)明显增强(P<0.05,n=6),而 Vector组、Normal组细胞相比 HIF- 1α 蛋白表达无显著性差异(图 6)。

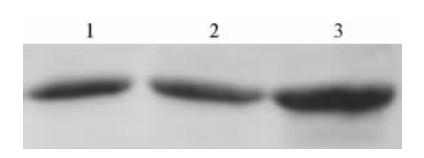


图 6 Western 印迹检测 HIF-1α 蛋白的表达 Fig 6 Detection of the HIF-1α protein expression by Western blot

1: Normal group; 2: Vector group; 3: rAAV-HIF-1α group

3 讨论

缺氧是影响神经系统疾病如 AD 等发生、发展 的重要因素之一[6],神经细胞因缺乏糖原储备,很容 易遭受缺氧等因素的攻击。缺氧时 HIF-1α 生成增 加,通过调控糖酵解酶、促红细胞生成素、血管内皮 生长因子和一些涉及细胞生存蛋白质等的表达,调 节能量代谢,增加毛细血管网密度,改善组织血流供 应,使细胞产生适应性反应。因此,以 HIF-1α 为靶 点基因治疗 AD 是很有希望的方案。纤维状沉积的 β-淀粉样蛋白(β amyloid, Aβ)是 AD 重要病理特 征——老年斑的主要成分,其通过诱导活性氧在神 经细胞内蓄积产生氧化应激损伤、线粒体和溶酶体 功能受损导致能量代谢障碍、继发细胞内离子平衡 紊乱从而杀伤细胞,具有强烈的神经毒性。而最近 研究证实 $HIF-1\alpha$ 能够减弱 $A\beta$ 神经毒性作用,其机 制可能与激活糖酵解、磷酸己糖途径促使还原型烟 酰胺腺嘌呤二核苷酸、还原型烟酰胺腺嘌呤二核苷 酸磷酸生成增加,降低细胞内活性氧含量,减弱氧化 应激造成的神经损伤;以及促进葡萄糖载体蛋白-1、 醛缩酶 A、乳酸脱氢酶 A 及磷酸果糖激酶蛋白水平 表达增加,从而促进糖的转移、利用,改善脑组织能 量代谢途径等有关[7];除上述机制外,是否尚存在其 他途径参与这一过程值得深入探讨。并且研究还发 现 HIF-1α 能够减弱氧化应激等因素对视网膜神经 细胞以及 C6 神经胶质瘤细胞的损伤[8-10],均支持 HIF-1α 具有神经保护作用的观点。

鉴于以上分析,本研究采用 AAVMax 病毒包 装系统构建重组人缺氧诱导因子-1α腺相关病毒载 体(rAAV-HIF-1a),为 HIF-1a 用于 AD 基因治疗 奠定基础。与传统的 rAAV 的包装系统如双质粒 共转染加辅助病毒感染法、无辅助病毒参与的三质 粒共转染法相比,AAVMax 病毒包装系统以单纯疱 疹病毒重组体为辅助病毒感染 AAV 载体细胞株, 在很大程度上模拟了野生型 AAV 病毒的生活周 期,避免了大量提取质粒和反复转染,易于扩大生产 制备规模[11-12]。单纯疱疹病毒是有包膜的病毒,容易 被有机溶剂和非离子型表面活化剂灭活;而 AAV 病 毒是无包膜的正二十面体病毒,十分稳定且具有"刚 性",对氯仿、乙醚、乙醇等有机溶剂和非离子型表面 活化剂具有很好的抵抗性。利用这种病毒结构特性 上的明显差异,本研究采用氯仿处理-PEG/NaCl 沉 淀-氯仿抽提技术粗纯化 AAV 病毒,透析袋浓缩法进 一步浓缩 AAV 病毒,即将粗纯化 AAV 病毒制品装 于预处理好的透析袋中,置于固体 PEG 进行"吸水" 浓缩,从而缩小制品的体积,使病毒滴度达到 1×10^{12} v. g. /ml,纯度大于 98%,成功制备了用于离体细胞和在体动物实验的 rAAV-HIF- $1\alpha^{[13-14]}$ 。将 rAAV-HIF- 1α 转染原代培养海马神经元后,Western 印迹技术可检测到 HIF- 1α 蛋白的表达明显高于对照组,表明rAAV-HIF- 1α 能够有效转染海马神经元并高效表达目的蛋白,为进一步应用 rAAV-HIF- 1α 进行临床 AD基因治疗提供了实验依据。

[参考文献]

- [1] Tuszynski M H, Thal L, Pay M, et al. A phase 1 clinical trial of nerve growth factor gene therapy for Alzheimer disease[J]. Nat Med,2005,11:551-555.
- [2] Blesch A, Tuszynski M H. Gene therapy and cell transplantation for Alzheimer's disease and spinal cord injury[J]. Yonsei Med J,2004,45 (Suppl):28-31.
- [3] 孙学军,彭兆云,陈箫莹,等.活性氧对低氧诱导因子的调节 [J]. 第二军医大学学报,2006,27:660-664.
- [4] 王 丽,王素霞,梅长林. RNA 干扰对比观察 $HIF1_{\alpha}$ 和 $HIF2_{\alpha}$ 在人肾癌细胞中的作用及机制[J]. 第二军医大学学报,2006, 27:590-593.
- [5] Zaman K, Ryu H, Hall D, et al. Protection from oxidative stress-induced apoptosis in cortical neuronal cultures by iron chelators is associated with enhanced DNA binding of hypoxia-inducible factor-1 and ATF-1/CREB and increased expression of glycolytic enzymes, p21waf1/cip1, and erythropoietin[J]. J Neurosci, 1999, 19:9821-9830.
- [6] Bazan N G, Palacios-Pelaez R, Lukiw W J. Hypoxia signaling to genes: significance in Alzheimer's disease[J]. Mol Neurobiol, 2002, 26(2-3): 283-298.
- [7] Soucek T, Cumming R, Dargusch R, et al. The regulation of glucose metabolism by HIF-1 mediates a neuroprotective response to amyloid beta peptide[J]. Neuron, 2003,39: 43-56.
- [8] Liu J, Narasimhan P, Yu F, et al. Neuroprotection by hypoxic preconditioning involves oxidative stress-mediated expression of hypoxia-inducible factor and erythropoietin[J]. Stroke, 2005, 36:1264-1269.
- [9] Yang Y T, Ju T C, Yang D I. Induction of hypoxia inducible factor-1 attenuates metabolic insults induced by 3-nitropropionic acid in rat C6 glioma cells[J]. J Neurochem, 2005, 93: 513-525.
- [10] Grimm C, Hermann D M, Bogdanova A, et al. Neuroprotection by hypoxic preconditioning: HIF-1 and erythropoietin protect from retinal degeneration[J]. Semin Cell Dev Biol, 2005, 16 (4-5): 531-538
- [11] Wu Z, Wu X, Hou Y. Generation of a series of recombinant herpes simplex viruses which can provide replicating and packaging functions for recombinant adeno-associated virus[J]. Zhonghua Shi Yan He Lin Chuang Bing Du Xue Za Zhi, 2002, 16:74-78.
- [12] 伍志坚,吴小兵,曹 晖,等. 一种高效的重组腺伴随病毒载体 生产系统[J]. 中国科学(C辑),2001,31,423-430.
- [13] 吴小兵,董小岩,伍志坚,等. 一种快速高效分离和纯化重组腺 病毒伴随病毒载体的方法[J]. 科学通报,2000,45,2071-2075.
- [14] 彭建强,彭文心,谭淑萍,等. 一种高效快速浓缩腺相关病毒载体的方法[J]. 病毒学报,2005,21;11-14.

[收稿日期] 2006-12-20

「修回日期] 2007-04-14

[本文编辑] 孙 岩